

ESTUDO DA TRANSMISSÃO DE CALOR RADIANTE E CONVECTIVO EM CILINDROS CONCÊNTRICOS PELOS MÉTODOS DE MONTE CARLO E RESÍDUOS PONDERADOS.

Carlos Alberto de Almeida Vilela

Universidade Estadual de Campinas - UNICAMP

Faculdade de Engenharia Mecânica - FEM

Departamento de Energia - DE

Campinas - SP - Brasil

Caixa Postal 6122

CEP 13083-970

Marcelo Cunha da Silva

Resumo

Aplicando os métodos de Monte Carlo e resíduos ponderados, são calculados os fluxos de calor radiante e convectivo em cavidade formada por cilindros concêntricos, de comprimento finito, considerando a superfície interna negra e a superfície externa como cinza, com temperaturas constantes. As propriedades da superfície externa são consideradas as da liga Al-Cu. No problema, é considerado ainda o escoamento de fluido não participante em regime laminar desenvolvido por toda cavidade. São apresentados como resultados do estudo, a distribuição da temperatura do fluido e o calor trocado por convecção ao longo da cavidade, o fluxo de calor radiante trocado entre as superfícies, e o comprimento da cavidade necessário para que seja atingido o regime térmico completamente desenvolvido, e a distribuição do número de Nusselt para vários números de Reynolds e diferenças de temperatura entre as superfícies.

Palavras-chave: Radiação, Convecção, Resíduos Ponderados

1. INTRODUÇÃO

De interesse à diversas aplicações práticas, tem-se feito o estudo do escoamento em inúmeras configurações envolvendo ou não a transferência de calor ao fluido, e em alguns casos sendo de relevância a parte radiativa da transferência de calor. A complexidade de análise de cada caso, se dá de acordo com as condições de contorno envolvidas, sendo necessário ou não o acoplamento das equações envolvidas e são também desconsideradas as espessuras das paredes.

Neste estudo em particular, é considerado o escoamento de fluido em um tubo anular concêntrico, com temperaturas das paredes internas e externas mantidas constantes e diferentes e fluido não participante na troca de calor radiante. Com estas condições, pode-se tratar o problema como dois casos em separado. Primeiro envolvendo a parte radiativa da troca de calor entre as superfícies e segundo a parte convectiva entre as superfícies e o fluido. Para o tratamento das equações envolventes, foram aplicados os métodos de Monte Carlo para radiação, e um método analítico aproximado baseado em resíduos ponderados, para convecção.

Como resultado de toda análise, são apresentados gráficos e tabelas do desenvolvimento térmico ao longo do tubo, número de Nusselt desenvolvido, comprimento de tudo necessário para desenvolvimento térmico, e calor radiante trocado, para várias configurações de raio (R^*), número de Reynolds e temperaturas.

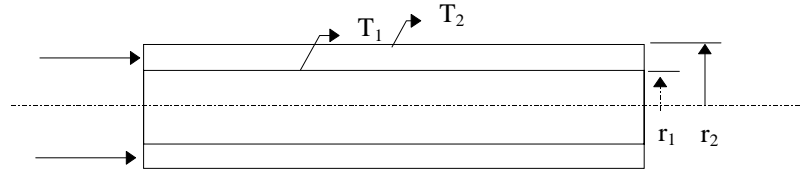


Figura 1. esquema do sistema

2. MODELO MATEMÁTICO

O problema é um caso onde ocorre a transferência de calor pela radiação e convecção de forma desacoplada, já que as temperaturas das superfícies são mantidas constantes.

2.1 Energia emitida pelas superfícies

Como apresentado por Goldstein Jr(1988), tem-se as relações para radiação das energia emitidas pelas superfícies 1, ϕ_1 e pela superfície 2, ϕ_2 .

$$\phi_1 = \epsilon_{\Omega 1} E_{b1} A_1 \quad (1)$$

$$\epsilon_{\Omega 1} = 1 \quad (\text{superfície negra}) \quad (2)$$

$$E_{b1} = \sigma T_1^4 \quad (3)$$

$$A_1 = 2\pi r_1 L \quad (4)$$

$$\phi_2 = \epsilon_{\Omega 2} E_{b2} A_2 \quad (5)$$

$$E_{b2} = \sigma T_2^4$$

$$A_2 = 2\pi r_2 L$$

A emitância da superfície 2 pode ser obtida pela seguinte relação:

$$\epsilon_{\Omega 2} = \frac{E_2}{E_{b2}} = \frac{\int i_2 \cos(\beta_2) dw}{i_{b2}} \quad \text{a qual pode ser reescrita como :}$$

$$\epsilon_{\Omega 2} = 2 \int_0^{\pi/2} \epsilon_2 \cos(\beta_2) \sin(\beta_2) d\beta_2 \quad (6)$$

A integração desta equação pode ser feita a partir das relações que descrevem os valores de ϵ_2 em função de β obtida na figura (2).

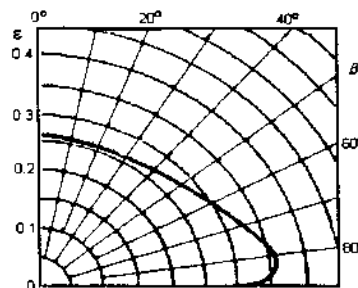


Figura 2. Variação direcional de ϵ_2 para liga de Alumínio-Bronze

$$\text{Para } 0 \leq \beta \leq 30^\circ \rightarrow \varepsilon_2 = 0.26 \quad (7)$$

$$30^\circ < \beta \leq 80^\circ \rightarrow \varepsilon_2 = 0.26 + 0.1 \left(\frac{\beta}{0.85141} - 0.61498 \right)^2 \quad (8)$$

$$80^\circ < \beta \leq 88^\circ \rightarrow \varepsilon_2 = 0.365 - 0.1 \left(\frac{\beta}{0.23111} - 6.04152 \right)^2 \quad (9)$$

$$88^\circ < \beta \leq 90^\circ \rightarrow \varepsilon_2 = 14.76011 - 9.39658\beta \quad (10)$$

A partir das aproximações feitas, tem-se que:

$$\varepsilon_{\Omega_2} = 0.28304$$

2.2 Cálculo do número de pacotes emitidos pelas superfícies N_1 , e N_2 .

O método de Monte Carlo é baseado na totalização de pacotes de energia trocados pelas superfícies, daí tem-se a definição da energia contida em cada pacote:

$$\phi = \frac{\phi_1 + \phi_2}{N} \quad (11)$$

$$\text{Superfície 1: } N_1 = \frac{\phi_1}{\phi_2} N$$

$$\text{Superfície 2: } N_2 = \frac{\phi_2}{\phi} N \quad N - \text{número total de pacotes}$$

2.3 Acompanhamento dos pacotes emitidos pela superfície 2

O acompanhamento de cada pacote de energia é o que determina o quanto de energia é trocada pelas superfícies. Este procedimento é detalhado por Henriquez *et al*(1996). Tem-se que a cada um dos pacotes de energia emitidos pela superfície 2, pode caber uma das possibilidades a seguir:

- a) O pacote é absorvido pela superfície negra.
- b) O pacote é absorvido pela própria superfície emissora 2.
- c) O pacote é refletido especularmente pela própria superfície emissora.
- d) O pacote é refletido difusamente pela própria superfície emissora 2.

2.4 Acompanhamento dos pacotes emitidos pela superfície 1

A cada um dos pacotes emitidos pela superfície 1, pode ocorrer uma das seguintes possibilidades.

- a) O pacote é absorvido na superfície 2.
- b) O pacote é refletido especularmente.
- c) O pacote é refletido difusamente.
- d) O pacote sai para o ambiente.

2.5 Cálculo das taxas de transferência de calor radiante Q_1 e Q_2 :

Os pacotes emitidos pelas superfícies 1 e 2 são acompanhados até serem absorvidos ou emitidos para fora da cavidade. Faz-se então o balanço dos pacotes que são absorvidos na superfície 1, N_1' , e os pacotes que são absorvidos na superfície 2, N_2' . Tem-se então que:

$$Q_1 = \phi(N_1 - N_1') \quad (a) \quad Q_2 = \phi(N_2 - N_2') \quad (b) \quad Q_1 + Q_2 + Q_p = 0 \quad (c) \quad (12)$$

onde Q_p é o calor perdido para o ambiente.

2.6 Transferência de calor convectiva.

Para o tratamento da equação da energia, que determinará a distribuição de temperatura no interior do tubo, são consideradas algumas hipóteses apresentadas a seguir:

- O problema é tratado em regime permanente de escoamento
- Densidade do fluido constante
- Dissipação viscosa desprezível
- Condução axial desprezível
- $\frac{\partial}{\partial \theta} = 0$, para todas as variáveis

Com estas considerações, a equação da energia em coordenadas cilíndricas, pode ser escrita como da forma:

$$\frac{v_z}{\alpha} \frac{\partial T}{\partial z} = \frac{1}{r} \frac{\partial T}{\partial r} + \frac{\partial^2 T}{\partial r^2} \quad \text{onde} \quad (13)$$

$$\alpha = \frac{\kappa}{\rho C_p} \quad (14)$$

As condições de contorno aplicadas ao problema são:

$$T_{(z,r_1)} = T_1 \quad T_{(z,r_2)} = T_2 \quad T_{(0,r)} = T_e$$

Definindo os grupos adimensionais como:

$$\theta = \frac{(T_1 - T)}{(T_1 - T_2)} \quad (a) \quad R = \frac{(r_1 - r)}{(r_1 - r_2)} \quad (b) \quad Z = \left(\frac{z}{(r_2 - r_1) \text{Re Pr}} \right) \quad (c) \quad (15)$$

Re- número de Reynolds

Pr- número de Prandt

Então a equação adimensionalizada fica:

$$\frac{\partial \theta}{\partial Z} = \frac{\alpha \text{Re Pr}}{\nu((r_2 - r_1)R + r_1)} \frac{\partial \theta}{\partial R} + \frac{\alpha \text{Re Pr}}{\nu(r_2 - r_1)} \frac{\partial^2 \theta}{\partial R^2} \quad (16)$$

e as condições de contorno ficam:

$$\theta_{(0,Z)} = 0 \quad \theta_{(1,Z)} = 1 \quad \theta_{(R,0)} = \theta_e$$

Uma solução aproximada para a equação da energia, utilizando o método dos resíduos ponderados, é proposta da forma, onde uma função de aproximação é dada por:

$$\hat{\theta}_{(Z,R)} = R + \sum_{i=1}^n C_i R^{i+1} \quad \text{onde } C_i = f(Z) \quad (17)$$

Considerando uma aproximação de ordem 3, n=2;

$$\hat{\theta}_{(Z,R)} = R + C_1 R^2 + C_2 R^3 \quad (18)$$

Em Z=0, tem-se a condição de contorno de temperatura média de entrada:

$$T_e = 27^\circ C \quad \theta_e = -0.4$$

$$\hat{\theta}_{(Z,0)} = 0 \quad \hat{\theta}_{(Z,1)} = 1 = 1 + C_1 + C_2$$

portanto $C_1 = -C_2$

Logo a função (18) fica :

$$\hat{\theta}_{(Z,R)} = R + C_1 (R^2 - R^3) \quad (19)$$

Para a avaliação da temperatura média, é usada a expressão abaixo:

$$\theta_m = \frac{\sum_{i=1}^n \theta_i}{n} \quad \text{onde: } n: \text{ número de pontos no intervalo}$$

É adotado um perfil de temperatura em Z=0, tal que a temperatura média seja $\theta_m = \theta_e = -0.4$.

Um perfil é dado utilizando (19), portanto:

$$\theta_{(0,R)} = R + C_1 (R^2 - R^3) \quad (20)$$

Utilizando o conceito de temperatura média no intervalo $0 \leq R \leq 1$, com n=100:

$$C_{1(0)} = -11$$

Então a função (20) fica:

$$\hat{\theta}_{(0,R)} = R - 11(R^2 - R^3) \quad (21)$$

que satisfaz as condições de contorno aplicadas em (16).

Pelo método da colocação, tem-se que o mínimo **R** seja dado por :

R=(equação diferencial)

A equação diferencial no ponto de colocação usando a aproximação dada por (18) seja nula.

De (18)

$$\frac{\partial \hat{\theta}}{\partial R} = 1 + C_1(2R - 3R^2) \quad \frac{\partial^2 \hat{\theta}}{\partial R^2} = C_1(2 - 6R) \quad \frac{\partial \hat{\theta}}{\partial Z} = C_1'(R^2 - R^3)$$

Substituindo em (16), fica:

$$\mathbf{R} = -C_1'(R_c^2 - R_c^3) + \frac{\alpha \text{Re Pr} [1 + C_1(2R_c - 3R_c^2)]}{\nu[(r_2 - r_1)R_c + r_1]} + \frac{\alpha \text{Re Pr} C_1(2 - 6R_c)}{\nu(r_2 - r_1)} = 0 \quad (22)$$

onde R_c é o ponto de colocação.

A equação (22) pode ser escrita como :

$$\mathbf{R} = AC_1' + BC_1 + D = 0 \quad \rightarrow \quad C_1' + \frac{B}{A}C_1 = -\frac{D}{A} \quad (23)$$

A solução de (23), é dada por Kreysseg(1993):

$$C_{1(z)} = e^{-h} \left[\int e^h \left(\frac{-D}{A} \right) dZ + K_1 \right] \quad \text{onde: } h = \int \frac{B}{A} dz$$

Tem-se que:

$$h = \frac{B}{A} Z$$

$$C_{1(z)} = e^{-\frac{B}{A}Z} \left[\int e^{\frac{B}{A}Z} \left(\frac{-D}{A} \right) dZ + K_1 \right]$$

$$C_{1(z)} = \frac{-D}{B} + K_1 e^{-\frac{B}{A}Z} \quad (24)$$

Mas para $Z=0$, $C_{1(z)} = -11$

Então (24):

$$K_1 = \left(-11 + \frac{D}{B} \right)$$

$$C_{1(z)} = \frac{-D}{B} + \left(-11 + \frac{D}{B} \right) e^{-\frac{B}{A}Z} \quad (25)$$

que substituindo em (18), tem-se a equação que é a solução aproximada de (22), para distribuição de temperatura:

$$\hat{\theta}_{(z,R)} = R - \frac{D}{B}(R^2 - R^3) + \left(-11 + \frac{D}{B} \right) e^{-\frac{B}{A}Z} (R^2 - R^3) \quad (26)$$

Os resultados obtidos pelo método aproximado, foram comparados com a solução apresentada por Kays *et al*(1985) para o caso de temperaturas constantes e diferentes das superfícies cilíndricas concêntricas com escoamento no regime laminar.

As equações para o problema são:

$$Q_1'' = \frac{h}{D_h} [(T_1 - T_e)\Phi_{ii} + (T_2 - T_e)\Phi_{io}] \quad [\text{w/m}^2] \quad (27)$$

$$Q_2'' = \frac{k}{D_h} [(T_1 - T_e)\Phi_{oi} + (T_2 - T_e)\Phi_{oo}] \quad [\text{w/m}^2] \quad (28)$$

$$T_s - T_e = (T_1 - T_e)\Phi_{bi} + (T_2 - T_e)\Phi_{bo} \quad [\text{K}] \quad (29)$$

onde:

Q'' -fluxo de calor convectivo trocado pela superfície 1 ou 2 com o fluido.

k - condutividade térmica do fluido.

D_h -diâmetro hidráulico.

Φ -função dada por Kays *et al*(1985).

3. RESULTADOS OBTIDOS

Os gráficos seguintes, foram obtidos para três casos estudados com as condições de contorno seguintes:

Tabela 1. Condições de teste

	T_1 [K]	T_2 [K]	T_e [K]
Caso 1	500	1000	300
Caso 2	500	500	300
Caso 3	1000	500	300

Tabela 2. Relação de raios

R^*	r_1	r_2	D_h
0,5	0,1	0,2	0,2
0,25	0,1	0,4	0,6
0,1	0,1	1,0	1,8

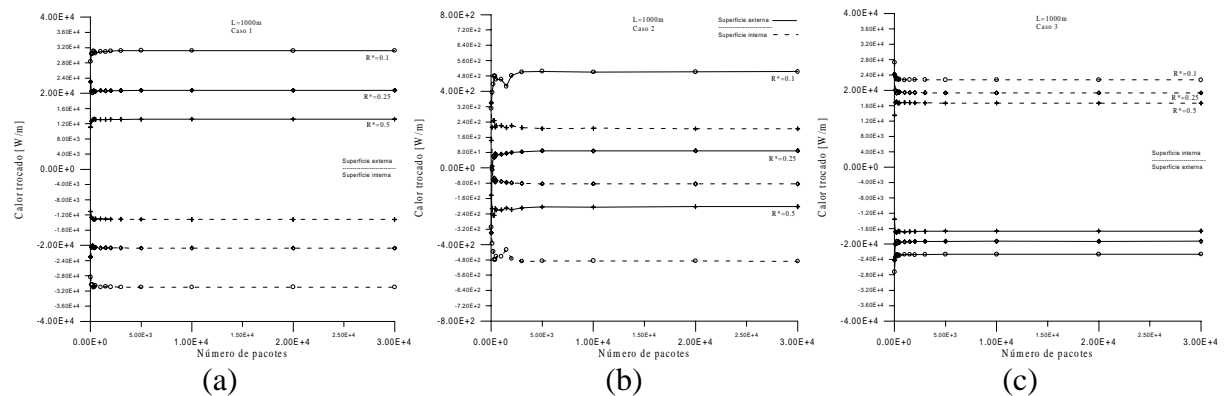


Figura 3. Troca de calor radiativo: (a) caso1, (b) caso 2, (c) caso 3

Tabela 3. Temperatura desenvolvida

	Caso 1		Caso 2		Caso 3	
	Kays	Resíduos ponderados	Kays	Resíduos ponderados	Kays	Resíduos ponderados
R*=0.1	873.5	853.8	500	500	626.5	646.2
R*=0.25	834.5	814.3	500	500	665.5	685.7
R*=0.5	795.0	780.0	500	500	705.0	720.0

Tabela 4. Nusselt desenvolvido

	CASO 1		CASO 2		CASO 3	
	Nu _i	Nu _e	Nu _i	Nu _e	Nu _i	Nu _e
R*=0.1	10.46-	3.09+	0	0	10.46+	3.09-
R*=0.25	6.47-	3.26+	0	0	6.47+	3.26-
R*=0.5	4.89-	3.51+	0	0	4.89+	3.51-

O sinal ao lado do valor de Nu, significa que a superfície está cedendo calor (+) ou recebendo calor(-).

4. CONCLUSÃO

Os resultados apresentados demonstram que o método dos resíduos ponderados aplicado a este problema proporcionou uma boa aproximação do perfil de temperatura desenvolvida na cavidade. Nos gráficos relativos a troca de calor radiativo pode-se observar que a partir de aproximadamente 5000 pacotes utilizados para o cálculo da troca de calor, o valor desta se estabiliza, demonstrando que a quantidade de pacotes utilizada é importante para se obter um resultado mais confiável. Observa-se também que com a variação das temperaturas de superfície, há uma inversão na troca de calor radiativo. A diferença entre as curvas de razão de raio deve-se principalmente as áreas de troca, e para os casos estudados as perdas de energia para o ambiente são muito pequenas, isto é mostrado pela simetria das curvas de mesma razão de raio.

5. REFERÊNCIAS

- Henriquez, J. R.; Rodriguez, R. J.; Mohamed, M.; Goldstein Jr, L.; "Modelo de Troca de Calor Radiante entre Duas Superfícies Cilíndricas Concêntricas pelo Método de Monte Carlo", VI ENCIT / VI LATCYM, Florianópolis - SC - Brasil, Novembro 1996.
- Kays, W. M.; Perkins, H. C.; "Handbook of Heat Transfer: Fundamentals", Second Edition, New York, Mc Graw Hill, 1985.
- Goldstein Jr, Leonardo; "Elementos de Radiação Térmica", Universidade Estadual de Campinas - DETF, Apostila, 1988.
- Kreyszig, E.; "Advanced Engineering Mathematics", John Wiley & Sons, 1993.